

# بررسی مصنویت زایی و اینمی زایی واکسیناسیون با Alum-ALM مخلوط با BCG در لیشمانیوزیس مدل موش

محمود ناطقی رستمی<sup>۱</sup>، دکتر حسین کشاورز<sup>۲</sup>، اکرم میرامین محمدی<sup>۳</sup>، دکتر علی خامسی پور<sup>۴</sup>

۱- کارشناس ارشد انگل شناسی، دانشکده بهداشت و انسیتو تحقیقات بهداشتی، ۲- استاد، گروه انگل شناسی و قارچ شناسی پزشکی، دانشکده بهداشت و انسیتو تحقیقات بهداشتی، ۳- کارشناس قارچ شناسی، مرکز آموزش و پژوهش بیماری‌های پوست و جذام، ۴- دانشیار، مرکز آموزش و پژوهش بیماری‌های پوست و جذام؛ دانشگاه علوم پزشکی تهران

**زمینه و هدف:** لیشمانیازیس گروهی از بیماری‌های ناشی از تک یا خته جنس لیشمانیا است. به علت دشواری روش‌های کنترل این بیماری، به نظر می‌رسد که یافتن واکسنی مؤثر تنها راهبرد کنترل این بیماری باشد. هدف از این مطالعه بررسی میزان مصنویت‌زایی واکسن L.major کشته شده به وسیله حرارت و رسوب در آلوم (Alum-ALM) مخلوط با Mycobacterium vaccae به عنوان یاور در موش بود.

**روش اجرا:** غلظت‌های مختلف واکسن Alum-ALM مخلوط با غلظت‌های مختلف M.vaccae یا BCG در سه نوبت به ۱۱ گروه ۱۰ تایی موش ماده Balb/c تزریق شد. روند افزایش ضخامت کف پای موش‌ها بعداز چالش با انگل عفونت‌زای و بار انگل در بافت زنده در گروه‌های مختلف مقایسه شد. آزمون جلدی لیشمانی و میزان سایتوکاین‌ها IL-4 و IFN- $\gamma$  در کشت سلولی و پادتن IgG total و ایزوتوب‌های IgG1 و IgG2a در سرمه، مورد بررسی قرار گرفت.

**یافته‌ها:** در گروه‌هایی که دوز پایین Alum-ALM مخلوط با M.vaccae دریافت کرده بودند افزایش IL-4 و کاهش IL-4 مشاهده شد. در گروه‌هایی که BCG دریافت کرده بودند اختلاف معنی‌داری با گروه شاهد در آزمون جلدی و اندازه IFN- $\gamma$  وجود داشت و کاهش بار انگل نیز مشاهده شد. در گروهی که دوز بالا Alum-ALM همراه با دوز بالا M.vaccae دریافت کرده بودند، اختلاف معنی‌داری با گروه شاهد در ضخامت کف پا، میزان IL-4، آزمون جلدی و پادتن IgG1 وجود داشت. در یک موش از این گروه بار انگل، افزایش چشم‌گیری نشان داد.

**نتیجه گیری:** بر اساس این مطالعه تزریق M.vaccae همراه با دوز پایین Alum-ALM گرچه قادر به ایجاد مصنویت در موش‌های Balb/c نبود، ولی الگوی سایتوکاینی را به نفع پاسخ Th1 تغییر داد. هم چنین دوزهای مختلف Alum-ALM مخلوط با BCG سیستم اینمی را به نفع پاسخ Th1 تغییر داد و در این مورد بین دو یاور BCG و M.vaccae تفاوت معنی‌داری وجود نداشت. از طرفی، تزریق دوز بالای Alum-ALM همراه با دوز بالای M.vaccae پاسخ سیستم اینمی را به سمت تحریک نوع Th2 پیش برد.

**واژه‌های کلیدی:** لیشمانیا مازور، مایکوباکتریوم وکنی، Alum، ALM، واکسیناسیون

فصلنامه بیماری‌های پوست ۱۳۸۶؛ دوره ۱ (۵): ۳۶۳-۳۷۲

دریافت مقاله ۱۵/۹/۸۲ | اعلام قبولی: ۱/۱۱/۱۲

## مقدمه

واکسن سازی استفاده می‌شد با واکسن ALM مخلوط شد و تک دوز Alum-ALM مخلوط با BCG علیه سالک و علیه کالا آزار در میمون ۱۰۰٪ مصنونیت ایجاد کرد(۶). فاز I و II واکسن Alum-ALM مخلوط با BCG در سودان بر روی داوطلبان در دو نوبت تزریق شد و نتایج درخشنده را نشان داده است(۷).

از سوی دیگر، مطالعه‌های مختلف حاکی از خاصیت *Mycobacterium vaccae* تحريك سیستم ایمنی وسیله *Mycobacterium vaccae* در درمان بعضی سرطان‌ها و نیز برخی از بیماری‌های عفونی وجود دارد و نشان داده شده است که دوزهای خاصی از *M.vaccae* کشته می‌تواند به طور انتخابی باعث افزایش IFN- $\gamma$  پاسخ ایمنی از نوع Th1 یا افزایش سایتوکاین‌های IL-2 و IL-4 یا موجب تحريك پاسخ Th2 با افزایش ترشح IL-4 و IL-5 شود(۸). ایمونوتراپی در آسم مزمن در موش با استفاده از *M.vaccae* کشته باعث مهار ضایعه‌های *M.vaccae* مجاری ریوی شده است(۹). هم چنین، کشته در پسوریازیس(۱۱)، در سرطان پروستات رات(۱۲) و در برخی موارد دیگر مورد استفاده قرار گرفته است. هدف از این مطالعه بررسی میزان مصنونیت زایی و ایمنی زایی واکسن Alum-ALM مخلوط با *M.vaccae* است.

## روش اجرا

ایمونیزاسیون:

واکسن مرکب از دوزهای مختلف Alum-ALM (تولید موسسه واکسن و سرم‌سازی رازی، حصارک، ایران) و غلظت‌های مختلف *M.vaccae* (هدیه از سوی دکتر John Stanford محترم مرکز آموزش و پژوهش بیماری‌های پوست و جذام) و BCG (تولید انسیتو پاستور ایران) در سه نوبت به فاصله ۲۱ روز به طور زیر جلدی به ۱۱ گروه ۱۰ تایی موش

لیشمانیازیس به گروهی از بیماری‌های انگلی ناشی از گونه‌های مختلف جنس *Leishmania* اطلاق می‌شود که اشکال بالینی متعددی دارد(۱). سالانه تقریباً ۲ میلیون مورد جدید از این بیماری بروز می‌کند که بخش عمده آن از نوع جلدی (سالک) است. تقریباً ۹۰ درصد از موارد سالک محدود به ایران و ۵ کشور دیگر جهان است. به علت مشکلات فراوان در کنترل لیشمانیازیس، نظری انتشار وسیع مخازن (جوندگان) و مشکل مبارزه با آن‌ها، دشواری درمان و بروز موارد عفونت‌های همراه HIV-Leishmania این بیماری که جز معضلات بهداشتی است هر روزه بیش از پیش مورد توجه مسوولان امور بهداشتی قرار می‌گیرد. دلایل متعددی، محققان را در تلاش برای یافتن واکسنی مؤثر به عنوان تنها ابزار مبارزه با بیماری تشویق کرده است. مطالعه‌های وسیعی روی لیشمانیازیس تجربی در مدل حیوانی وجود دارد که نشان می‌دهد پاسخ ایمنی از نوع Th1 همراه با ترشح  $\gamma$ -IFN و IL-2، با بهبود و مصنونیت و پاسخ ایمنی از نوع Th2 با ترشح IL-4 و IL-5، با پیش‌رفت ضایعه و مسرگ صد درصد موش‌های حساس همراه است(۲-۴).

در دو دهه اخیر دانشمندان با همکاری سازمان جهانی بهداشت به منظور دست‌یابی به واکسنی مؤثر علیه لیشمانیازیس کوشش‌های بسیار و حتی کارآزمایی‌های بالینی متعددی را در مناطق اندمیک آغاز کرده‌اند(۵). در این زمینه ابتدا تک دز واکسن‌های *L.major* کشته شده به وسیله حرارت (ALM) مخلوط با BCG در ایران مورد ارزیابی قرار گرفت که نتایج چشم‌گیری داشت و سپس کارآزمایی‌های بالینی چند دوز همین واکسن‌ها در ایران و پاکستان و سودان ارزیابی شد که نسبت به تک دوز کارآبی افزونی‌های بالینی چند دوز همین واکسن‌ها در ایران و هیدروکسید آلومینیوم (Alum) که مدت‌ها در صنعت

### کشت سلولی و سنجش سایتوکاین‌ها:

در روز ۳۵ پس از آخرین تزریق از هر گروه ۳-۴ موش کالبد شکافی شد و کشت سلولی غدد لنفاوی و طحال موش‌های Balb/c به علاوه یک موش C57BL/6 با سابقه سالک (شاهد مثبت)، به طور جداگانه در حضور غلظت‌های مختلف آنتی‌ژن لیشمانیا مازور (تهیه شده به روش ذوب و انجماد) و Con-A (۰/۵ میکروگرم به ازای هر چاهک) و شاهد منفی به صورت سه گانه (triplicate) صورت پذیرفت (۲۰ و ۱۴). پس از ۴۸ ساعت محلول رویی (سوپرناتانت) چاهک‌ها برداشت و تا زمان استفاده برای سنجش سایتوکاین‌ها در دمای ۷-۷۰ درجه سانتی‌گراد نگهداری شد. به منظور بررسی میزان سایتوکاین‌ها IFN- $\gamma$  و IL-4 روی سوپرناتانت‌ها روش الیزا ساندویچ به کار گرفته شد (۲۰ و ۱۴).

### سنجدش بار انگل به روش LDA (Limiting dilution analysis)

مجموعه غدد لنفاوی هر موش به طور جداگانه وزن و سپس هوموژنیزه و در محیط کشت اشنايدر غنی شده کشت داده شد (۱۵). نتایج حاصله با نرم افزار ELIDA مورد تحلیل قرار گرفت و با به کارگیری Single-hit Chi-squared minimization و Poisson model تأیید شد. نتایج نهایی به صورت تعداد انگل در میلی‌گرم بافت زنده گزارش شد (۱۵).

### یافته‌ها

پس از چالش با انگل زنده، ضخامت کف پا به طور هفتگی با کولیس اندازه‌گیری شد (نمودار شماره ۱). در آنالیز آماری با استفاده از آزمون ANOVA بین گروه ۱ با گروه شاهد (میزان افزایش در گروه ۱ بیشتر بوده است) ( $P < 0.05$ ) و گروه‌های ۲ و ۴ ( $P < 0.05$ ) با یک‌دیگر اختلاف معنی‌داری مشاهده شد. هم چنین، میزان

Balb/c ماده ۸ تا ۱۰ هفته‌ای خریداری شده از انسستیتو پاستور ایران تزریق شد. به منظور ارزیابی ایمونوژنیستی واکسن یاد شده در ابتدا، میزان پادتن‌های total IgG و IgG2a مورد بررسی قرار گرفت و سپس هر گروه از موش‌ها به دو دسته تقسیم شد. مطالعه‌های ایمونولوژیک in vivo بر یک دسته و مطالعه‌های in vitro در دسته دوم صورت پذیرفت. دسته‌ای که در گروه مطالعه‌های in vivo بودند در کف پای چپ، تحت چالش با  $1 \times 10^6$  انگل L.major فاز ایستا قرار گرفتند و روند تغییرات ضخامت کف پا در آن‌ها ثبت شد. سپس واکنش به آزمون جلدی با تزریق  $10^7$  انگل کشته شده به کف دست چپ در مقابل شاهد PBS در کف دست دیگر، پس از ۲۴، ۴۸ و ۷۲ ساعت مورد ارزیابی قرار گرفت. ۳۵ روز پس از چالش میزان بار انگل در غدد لنفاوی این دسته از موش‌ها بررسی شد. در دسته‌ای که مطالعه‌های in vitro روی آن‌ها صورت گرفت، میزان سایتوکاین‌های IL-4 و IFN- $\gamma$  در کشت سلولی غدد لنفاوی و طحال آن‌ها اندازه‌گیری شد. در این مطالعه از لیشمانیا مازور سویه MRHO/75/IR/ER استفاده و میزان پروتئین انگل به روش برادرافورد اندازه‌گیری شد (۱۳). جدول ۱ ترکیبات و غلظت اجزای واکسن را نشان می‌دهد.

### سنجدش پادتن‌ها:

در هفته سوم پس از آخرین تزریق واکسن در هر گروه از ۵ رأس موش خون گیری به عمل آمد و پادتن‌های IgG total و زیرگروه‌های IgG1 و IgG2a با روش الیزا (۱۴) بر روی سرم هر گروه اندازه‌گیری شد. میزان افزایش جذب نوری (OD) سرم گروه‌های مختلف آزمون، نسبت به گروه شاهد (از کم تر از ۲ برابر به عنوان  $\pm$  تا بیش از ۴/۵ برابر به عنوان  $+6$ ) به عنوان معیار در سنجش پادتن‌ها در نظر گرفته شد.

این پادتن در گروه ۶ مشاهده شد (جدول شماره ۳). از سوی دیگر، بررسی پادتن IgG2a معلوم کرد که در گروه ۸ و ۱۰ که BCG دریافت کرده‌اند میزان پادتن افزایش داشته است (جدول شماره ۳).

نتایج این مطالعه در خصوص سنجش سایتوکاین‌ها نشان می‌دهد که با استفاده از آزمون ANOVA، میان گروه‌های ۴، ۵، ۶، ۷ و ۸ با گروه شاهد از نظر میزان-IFN- $\gamma$  اختلاف معنی‌داری وجود دارد ( $P < 0.001$ ). هم چنین، گروه‌های ۵ و ۶ غلظت بالاتری را نسبت به گروه ۷ نشان داده‌اند ( $P < 0.001$ ) (نمودار شماره ۳). در بررسی میزان IL-4، آزمون‌های آماری معلوم کرده‌اند که اختلاف معنی‌داری میان گروه ۱ ( $P < 0.001$ ) و گروه ۷ ( $P < 0.05$ ) با گروه شاهد وجود دارد (نمودار شماره ۳). در ضمن گروه ۵ ( $P < 0.05$ )، ۶ ( $P < 0.001$ ) و ۸ ( $P < 0.05$ ) با گروه ۷ اختلاف معنی‌داری داشته است.

افزایش در گروه ۸ کم‌تر از گروه ۵ بوده است ( $P < 0.05$ ). میزان بار انگل در جدول شماره ۲ مشاهده می‌شود، آزمون آماری ANOVA بین گروه‌های آزمون با یک دیگر و با گروه شاهد اختلاف معنی‌داری را نشان نداده است. اما لازم است توجه شود که در یکی از موس‌های گروه ۱ میزان بار انگل، افزایش قابل توجهی داشته است. هم چنین، در موس‌های گروه‌های ۴، ۶ و ۸ کاهش بار انگل، مشاهده شده است.

نتایج آزمون جلدی پیش از چالش نشان داد که میزان ضخامت کف دست در گروه‌های ۴ و ۸ افزایش بارزی داشته است. هم چنین گروه‌های ۱ و ۵ نسبت به گروه شاهد، کاهش در آزمون جلدی را نشان داده‌اند (نمودار شماره ۲).

بررسی سیستم ایمنی هومورال در روز ۳۵ پس از آخرین تزریق یادآور، نشان داد که میزان پادتن IgG1 در سه گروه اول دارای افزایش بوده است. در مقابل، کاهش

جدول شماره ۱- غلظت و نوع واکسن‌های تزریق شده به ۱۱ گروه موش Balb/c

| گروه       | واکسن | Alum-ALM <sup>۱</sup> | M.vaccae <sup>۲</sup> | ALM <sup>۳</sup> | BCG <sup>۴</sup> |
|------------|-------|-----------------------|-----------------------|------------------|------------------|
| ۱          | بالا  | -                     | -                     | -                | -                |
| ۲          | بالا  | -                     | -                     | -                | -                |
| ۳          | بالا  | -                     | -                     | -                | -                |
| ۴          | بالا  | -                     | -                     | -                | -                |
| ۵          | پایین | -                     | -                     | -                | -                |
| ۶          | پایین | -                     | -                     | -                | -                |
| ۷          | پایین | -                     | -                     | -                | -                |
| ۸          | پایین | -                     | -                     | -                | -                |
| ۹          | -     | -                     | پایین                 | پایین            | پایین            |
| ۱۰         | -     | -                     | پایین                 | پایین            | بالا             |
| ۱۱ (کنترل) | -     | -                     | -                     | -                | -                |

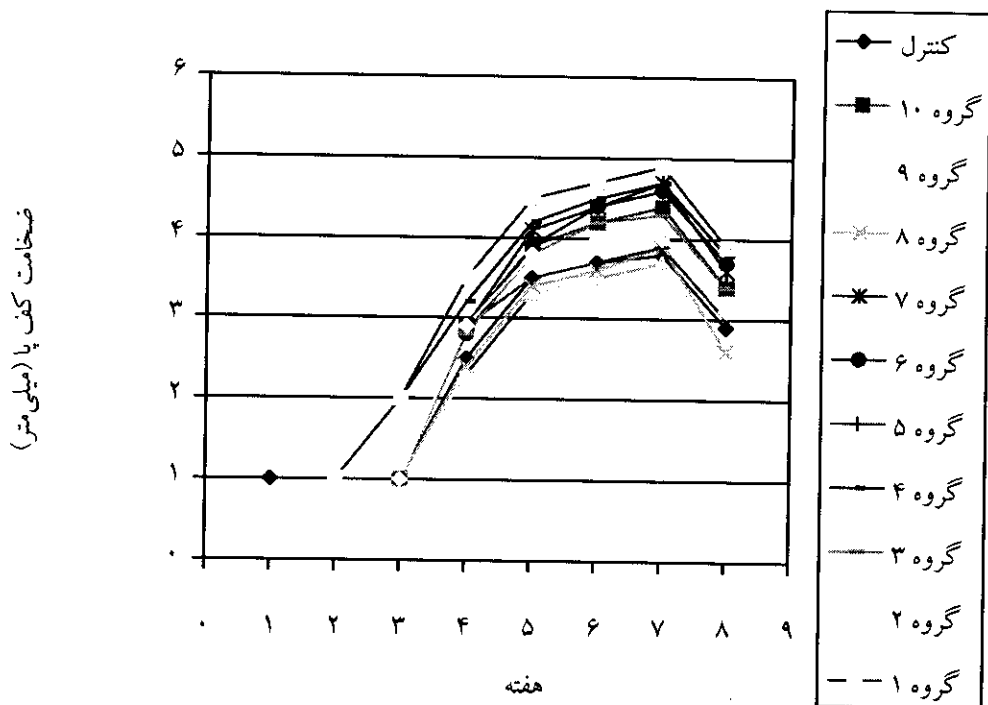
۱- دوز بالای واکسن Alum-ALM برابر ۲۰۰ میکروگرم و دوز پایین این واکسن در هر تزریق برابر ۵۰ میکروگرم بوده است.

۲- دوز بالای واکسن M.Vaccae حاوی  $1 \times 10^7$  میکرووارگانیسم و دوز پایین این واکسن در هر تزریق حاوی  $1 \times 10^6$  میکرووارگانیسم بوده است.

۳- دوز بالای واکسن ALM حاوی  $1 \times 10^8$  میکرووارگانیسم و دوز پایین این واکسن در هر تزریق حاوی  $1 \times 10^7$  میکرووارگانیسم بوده است.

۴- واکسن BCG به صورت دوز منفرد ۴۰۰ میکروگرمی تزریق شده است.

نمودار شماره ۱- روند افزایش ضخامت کف پا در اثر چالش بالبیکریک L.majorly در موش های Balb/c با سه تزریق واکسن



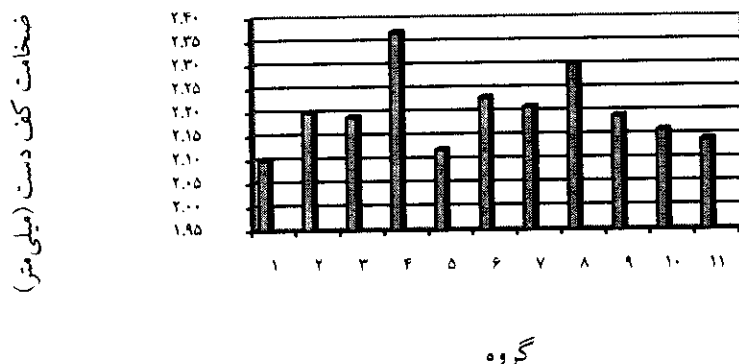
جدول شماره ۲- میزان بار انگل در بافت غدد لنفاوی با استفاده از روش LDA

| گروه | موش | میانگین $\pm$ انحراف میانگین در گرم بافت |
|------|-----|--|
| ۱    | ۱   | $۳۶۳۸/۷ \pm ۱۴۷۶ \times 10^{-۳}$         |
| ۱    | ۲   | $۶۵۲۱ \pm ۲۴۹۹/۸ \times 10^{-۳}$         |
| ۱    | ۳   | $۸۰۷ \pm ۴۸۵ \times 10^{-۳}$             |
| ۲    | ۱   | $۶۵۱۴ \pm ۲۴۴۷ \times 10^{-۳}$           |
| ۲    | ۲   | $۲۱۳۲ \pm ۱۰۰۶ \times 10^{-۳}$           |
| ۳    | ۱   | $۵۰۱۳/۸ \pm ۱۹۹۵/۹ \times 10^{-۳}$       |
| ۳    | ۲   | $۱۰۰۹/۵ \pm ۵۱۸ \times 10^{-۳}$          |
| ۴    | ۱   | $۷۰۵۸/۳ \pm ۲۹۸۱/۶ \times 10^{-۳}$       |
| ۴    | ۲   | $۵۲۱۳/۲ \pm ۲۳۶۹ \times 10^{-۳}$         |
| ۴    | ۳   | $۴۹۵۲ \pm ۲۰۶۷/۴ \times 10^{-۳}$         |
| ۵    | ۱   | $۶۶۷۳ \pm ۲۸۰۸/۱ \times 10^{-۳}$         |
| ۵    | ۲   | $۳۰۹۶ \pm ۱۵۴۲ \times 10^{-۳}$           |
| ۶    | ۱   | $۷۷۷۴/۵ \pm ۳۰۰۳ \times 10^{-۳}$         |
| ۶    | ۲   | $۳۹۰۷/۹ \pm ۱۶۸۵ \times 10^{-۳}$         |

| گروه | موش | میانگین $\pm$ انحراف میانگین در گرم بافت |
|------|-----|--|
| ۱    | ۱   | $۸۲۵۰ \pm ۳۱۳۴/۵ \times 10^{-۳}$         |
| ۱    | ۲   | $۴۰۴۰ \pm ۸۰۶۱ \times 10^{-۳}$           |
| ۱    | ۳   | $۵۲۵۰/۵ \pm ۲۲۴۹ \times 10^{-۳}$         |
| ۲    | ۱   | $۵۶۸۱/۳ \pm ۲۴۲۳ \times 10^{-۳}$         |
| ۲    | ۲   | $۱۲۱۷ \pm ۵۰۵ \times 10^{-۳}$            |
| ۲    | ۳   | $۶۴۰۱/۵ \pm ۲۵۴۳/۵ \times 10^{-۳}$       |
| ۳    | ۱   | $۵۲۵۷/۴ \pm ۲۲۸۱ \times 10^{-۳}$         |
| ۳    | ۲   | $۶۶۶۳ \pm ۲۷۹۹/۸ \times 10^{-۳}$         |
| ۳    | ۳   | $۴۳۱ \pm ۱۸۶۹/۵ \times 10^{-۳}$          |
| ۴    | ۱   | $۹۰۵/۵ \pm ۴۳۳ \times 10^{-۳}$           |
| ۴    | ۲   | $۲۹۰ \pm ۱۲۴۵/۹ \times 10^{-۳}$          |
| ۴    | ۳   | $۵۱۲۹/۵ \pm ۲۱۳۹/۵ \times 10^{-۳}$       |
| ۵    | ۱   | $۳۶۴۲/۳ \pm ۱۵۴۱ \times 10^{-۳}$         |
| ۵    | ۲   | $۴۳۶۱/۵ \pm ۱۹۵۰/۴ \times 10^{-۳}$       |

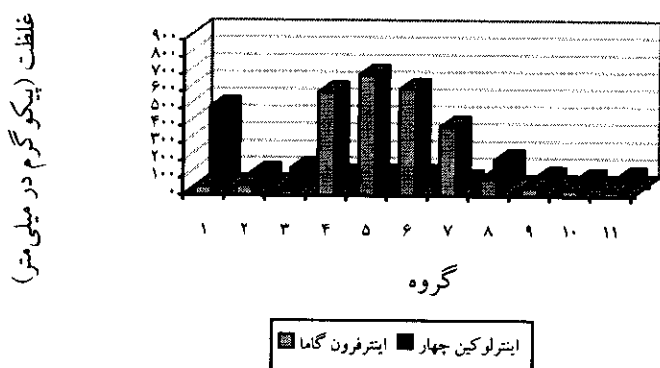
## نمودار شماره ۲- متوسط اندازه آزمون جلدی پس از ۲۴ ساعت در موش‌های Balb/c



جدول شماره ۳- درجه افزایش جذب نوری سرم گروه‌های آزمون نسبت به گروه شاهد از نظر پادتن IgG1 و IgG2a

| IgG2a | درجه افزایش | IgG1 | درجه افزایش | گروه |
|-------|-------------|------|-------------|------|
| +1    |             | +5   |             | ۱    |
| +2    |             | +5   |             | ۲    |
| ±     |             | +6   |             | ۳    |
| ±     |             | +3   |             | ۴    |
| ±     |             | +3   |             | ۵    |
| ±     |             | ±    |             | ۶    |
| ±     |             | ±    |             | ۷    |
| +1    |             | +5   |             | ۸    |
| ±     |             | ±    |             | ۹    |
| +1    |             | +2   |             | ۱۰   |

### نمودار شماره ۳ - مقایسه غلظت $\gamma$ -IFN-4 و IL-4 در سوپرناکانت کشت سلولی غدد لنفی موش‌های Balb/c



ایمنی را به سمت Th1 تغییر می‌دهد؛ به طوری که میزان سایتوکاین  $\gamma$ -IFN در گروه‌هایی که *M.vaccae* را دریافت کرده‌اند، افزایش معنی‌داری یافته است ( $P < 0.01$ ). نقش  $\gamma$ -IFN در بجهود عفونت ناشی از لیشمانیا در مطالعه‌های فراوانی نشان داده شده است (۱۶، ۱۷). میزان  $\gamma$ -IFN در گروه‌هایی که *M.vaccae* دریافت کرده‌اند بیش از گروه‌هایی است که BCG گرفته‌اند ( $P < 0.05$ ). برتری *M.vaccae* BCG نسبت به *M.vaccae* در خصوص فعالیت ضد سرطانی آن قبل‌از نیز گزارش شده است (۱۸، ۱۹). در این مطالعه‌ها نشان داده شده است که استفاده از *M.vaccae* کشته شده می‌تواند در محدود کردن فعالیت نکروزه سلول‌های سرطانی در مقایسه با BCG نقش مؤثری داشته باشد. از سوی دیگر، کاهش سایتوکاین IL-4 در تزریق *M.vaccae* دوز بالا ( $P < 0.05$ ) و دوز پایین ( $P < 0.05$ ) هم نشان از مهار پاسخ Th2 دارد. در تحقیق‌های انجام شده روی ایمونوتراپی با *M.vaccae* در انسان، کاهش تعداد سلول‌های تولید‌کننده IL-4 به عنوان شاخص پاسخ به درمان شمرده می‌شود (۲۰).

بررسی حاضر نشان می‌دهد که تزریق BCG همراه با دوزهای مختلف Alum-ALM سیستم ایمونولوژیک را

در دهه‌های اخیر دانشمندان به منظور دست‌یابی به واکسنی مؤثر علیه لیشمانیازیس کوشش‌های بسیاری را آغاز کرده‌اند. در این مطالعه دوزهای مختلف *M.vaccae* به عنوان یاور جدید یا BCG همراه با Alum-ALM در مدل موش، مورد بررسی قرار گرفت.

در مطالعه حاضر، اگرچه روند ضخامت کف پا در گروه‌های دریافت کننده *M.vaccae* با گروه شاهد اختلافی نداشت، اما در بررسی بار انگل در بافت که در مقایسه با اندازه گیری ضخامت کف پا از شدت عفونت شاخص دقیق‌تر و مطمئن‌تری به دست می‌دهد، در یک مورد از ۳ مورد موش دریافت کننده دوز پایین *M.vaccae* میزان بار انگل در واحد بافت زنده کم‌تر از میانگین آن دردو موش دیگر بود و این مشاهده از نظر مهار تکثیر و عفونت‌زاوی انجکل حائز اهمیت است. بنابراین، *M.vaccae* با واکسن، هر چند نتوانسته است از مخلوط جلوگیری کند اما در کنترل بار انگل در بافت تأثیر مثبتی نشان داده است.

الگوی سایتوکاینی نشان می‌دهد که غلظت پایین *M.vaccae* مخلوط با Alum-ALM، روند واکنش www.SID.ir

ضعیف، می‌شود(۱۴). از طرفی ضخامت کف پا ناشی از چالش در گروهی که دوز بالای Alum-ALM همراه با دوز بالای M.vaccae دریافت کرده بودند نسبت به گروه شاهد افزایش معنی‌داری را نشان داد که دال بر پاسخ سیستم اینمی از نوع Th2 است. این پدیده در بررسی بار انگل در غدد لنفاوی نیز مشاهده شد. اگرچه آزمون‌های آماری اختلاف معنی‌داری را میان گروه‌ها از نظر متوسط بار انگل نشان نداد، اما در بین سه موش بررسی شده در این گروه در یک موش، میزان بار انگل در واحد بافت زنده چندین برابر میانگین بار انگل دو موش دیگر بود؛ که این مسایل از نظر تأثیر تزریق ترکیب یادشده در مهار پاسخ اینمی سلوی و افزایش امکان تکثیر انگل در بافت، حائز اهمیت است. این اثر تقویت کننده اینمی Th2 سبب کاهش در میانگین اندازه آزمون جلدی در این گروه شده است. بررسی سیستم اینمی از نظر سایتوکاین‌های IL-4 و IL-10 نشان داد که در این گروه میزان سایتوکاین IL-10، با گروه شاهد دارای اختلاف معنی‌داری نبوده است. حال آن که سایتوکاین IL-4 افزایش داشته است( $P < 0.05$ ). این مشاهده تایید دیگری است برای این که تزریق دوز بالا M.vaccae مخلوط با دوز بالا Alum-ALM تحریک اینمی هومورال می‌شود. بحرانی بودن دوز تزریق در M.vaccae در مطالعه‌های دیگری نیز نشان داده شده است. در ارزیابی واکسنی مشکل از ALM همراه با M.vaccae، گزارش شده است که تزریق دز بالای این باکتری همراه با ALM سیستم اینمی موش را به سمت Th2 سوق می‌دهد(۲۴).

در مجموع، از این مطالعه چنین به نظر می‌رسد که تزریق Alum-ALM با دوز پایین همراه با یاور BCG یا M.vaccae قادر است سیستم اینمی را به سمت پاسخ پیش برد. به نظر می‌رسد بین این دو یاور از جنبه تأثیر

به سمت تحریک اینمی سلوی و تضعیف اینمی ناشی از Th2 پیش می‌برد. در آنالیز آماری نتایج حاصل از بررسی روند افزایش ضخامت کف پا معلوم کرد که BCG در مقایسه با M.vaccae تأثیر بیشتری در مهار افزایش ضخامت کف پا دارد. اگرچه هیچ کدام از این دو یاور با گروه شاهد اختلاف معنی‌داری را نشان نداده‌اند. مطابق این بررسی، در گروه‌هایی که BCG را همراه با دوز بالا یا پایین Alum-ALM دریافت کرده‌اند اندازه ضخامت کف پا کم‌تر از گروه‌های همسانی بوده است که M.vaccae را گرفته‌اند( $P < 0.05$ ). این تأثیر BCG در بررسی بار انگل نیز مشاهده می‌شود؛ به طوری که در هر دو گروه دریافت کننده BCG یک موش در واحد بافت میزان بار انگل کم‌تر را نسبت به متوسط بار انگل گروه خود نشان داد. بالاتر بودن اندازه ضخامت کف دست در آزمون جلدی در گروه‌های دریافت کننده BCG، حاکی از تحریک قبلي سیستم اینمی سلوی با انگل و واکنش سیستم اینمی به آنتیژن انگل در آزمون جلدی است. بررسی ایمونولوژیک روی سایتوکاین‌ها نشان داد که میزان IFN- $\gamma$  در گروه‌های دریافت کننده BCG، افزایش یافته است( $P < 0.05$ ) و IL-4 نیز کاهش معنی‌داری را نشان داده است( $P < 0.05$ ). از طرفی بررسی پادتن‌ها نیز کاهش در میزان IgG1 را در گروه ۴ و نیز افزایش میزان IgG2a را در گروه ۸ نشان داد. این مشاهده‌ها تأثیر BCG را برابر گرایش سیستم اینمی به سمت Th1 نشان می‌دهد. به منظور تحریک واکنش اینمی به سمت Th1 در مطالعه‌های بسیاری از BCG به عنوان یاور استفاده شده است(۲۱). از جمله در چندین کارآزمایی از BCG همراه با لیشمایی کشته شده علیه سالک روستایی و شهری در مناطق اندمیک ایران استفاده شده است(۲۲ و ۲۳). بررسی‌ها نشان داده است که واکسیناسیون با مخلوط لیشمایی کشته شده و BCG، موجب تحریک پاسخ اینمی، هر چند

رئیس محترم مرکز آموزش و پژوهش بیماری‌های پوست و جذام به خاطر همکاری مؤثر در اجرای این تحقیق تشکر کنند.

بودجه انجام این طرح پژوهشی توسط مرکز آموزش و پژوهش بیماری‌های پوست و جذام، دانشگاه علوم پزشکی تهران تأمین شده است

روی سیستم اینمی تفاوتی وجود نداشته باشد.

### تشکر و قدردانی

نویسنده‌گان بر خود لازم می‌دانند از دکتر John L. Ricahard از دانشگاه میدلسکس لندن، دکتر G. Titus از دانشگاه ایالت کلرادو ایالات متحده، دکتر Carl Taswell از ایالات متحده و دکتر یحیی دولتی

### References

- 1-Garcia LS, Old world leishmaniasis: Cutaneous leishmaniasis. In: Diagnostic medical parasitology. ASM Press: USA; 2001: 206.
- 2-Scott P, Pearce E, Cheever AW, et al. Role of cytokines and CD4+T cell subsets in the regulation of parasite immunity and disease. *Immunol Rev* 1989; 112: 161-82.
- 3-Scott P, Natovitz P, Coffman RL, et al. Immunoregulation of cutaneous leishmaniasis. Tcell lines that transfer protective immunity or exacerbation belong to different T-helper subsets and respond to distinct parasite antigens. *J Exp Med* 1988; 168: 1675-84.
- 4-Miller I, Pedrazzini TH, Louis JA. Experimentally induced cutaneous leishmaniasis are L3T4+Tcells that promote parasite growth distinct from those mediating resistance. *Immunol Lett* 1988; 19: 251-60.
- 5-Modabber F. First generation leishmaniasis vaccine clinical development: moving but what next? *Curr Opin Anti Infect Invest Drug* 2000; 2: 35-39.
- 6-Misra A, Dube A, Svivastava B, et al. Successful vaccination against Leishmania donovani infection in Indian langur using alum-precipitated autoclaved Leishmania major with BCG. *Vaccine* 2001; 19: 3485-92.
- 7-Khalil EAG. World's leish 2. 20-24 May 2001; Crete. Greece.
- 8-Assersohn L, Souberbielle BE, O'Brien ME, et al. A randomized pilot study of SRL 172 in patients with small cell lung cancer (SCLC) treated with chemotherapy. *Clin Oncol* 2002; 14: 23-27.
- 9-O'Brien ME, Saini A, Smith IE, et al. A randomized phase II study of SRL 172 combined with chemotherapy in patients with advanced inoperable non-small-cell lung cancer and mesothelioma. *Br J Cancer* 2000; 83: 853-57.
- 10-Ozdemir C, Akkoc T, Bahceciler NN, et al. Impact of *M.vaccae* immunization on lung histopathology in a murine model of chronic asthma. *Clin Exp Allergy* 2003; 33: 266-70.
- 11-Balagon MV, Walsh DS, Tan PL, et al. Improvement in psoriasis after intradermal administration of heat-killed *M.vaccae*. *Int J Dermatol* 2000; 39: 51-58.
- 12-Hrouda D, Souberbielle BE, Kayaga J, et al. *Mycobacterium vaccae* (SRL172) a potential immunological adjuvant evaluated in rat prostate cancer. *B J Urol* 1998; 82: 870-76.

- 13-Bradford MM. A rapid and sensitive method for the quantitation of microgram quantities of protein utilizing the principle of protein dye binding. *Anal Biochem* 1976; 72: 248-54.
- 14-Lagranderie MR, Balazuc AM, Deriaud E et al. Comparison of immune responses of mice immunized with five different *M. bovis* BCG vaccine strains. *Infect Immun* 1996; 64: 1-9.
- 15-Taswell C. Methods and selected applications In: Pretlow TG, Pretlow TP (eds). *Cell separation*. Academic press, USA: 109-45.
- 16-Sacks DL, Louis JA, Louis J, et al. Leishmaniasis In: Kenneths W (ed). *Immunology and molecular biology of parasitic infections*. Oxford: Blackwell Scientific Publications 1993: 12: 237-68.
- 17-Titus RG, Kelso A, Louis JA. Intracellular destruction of *Leishmania tropica* by macrophages activated with macrophage activating factor inteferon. *Clin Exp Immunol* 1984; 55: 157-65.
- 18-Pozniak A, Stanford JL, Grange JM. *M. Vaccae* immunotherapy *Lancet* 1991; 338: 1533-4.
- 19-Grange JM, Stanford JL, Rook GA. Tuberculosis and cancer: parallels in host responses and therapeutic approaches. *Lancet* 1995; 245: 1350-52.
- 20-Tian XX, Li A, Zhou W, et al. Isolation and biological activities of and antineoplastic protein polysaccharide complex (PS4A) obtained from *M.vaccae*. *Anticancer Res* 1999; 19: 237-43.
- 21-Convit J, Castellanos PL, Rondon A, et al. Immunotherapy versus chemotherapy in localized cutaneous leishmaniasis. *Lancet* 1987; 21: 401-04.
- 22-Momeni AZ, Jalayer T, Emamjomeh M, et al. A randomized double-blind controlled trial of a killed *L.major* vaccine plus BCG against zoonotic cutaneous leishmaniasis in Iran. *Vaccine* 1999; 17: 466-72.
- 23-Sharifi I, Fekri AR, Aflantonian MR, et al. Randomized vaccine trial of single dose of killed *L.major* plus BCG against anthroponotic cutaneous leishmaniasis in Bam, Iran. *Lancet* 1998; 351: 1540-3.
- ۲۴- خوشابه عبدالله کندی، ل. بررسی میزان مصونیت زایی لیشمینیای کشته شده همراه با مایکوبیاکتریوم وکشی در مقابل عفونت با لیشمینیا مازور در مدل موشی. پایان نامه کارشناسی ارشد، دانشکده بهداشت، دانشگاه علوم پزشکی تهران، ۱۳۷۹.